



UNIVERSIDAD DE GRANADA

Visión por Computador

---

*Proyecto final*

---

*Laura Calle Caraballo  
Javier León Palomares*

14 de enero de 2018

## Índice

<b>1. Introducción</b>	<b>2</b>
<b>2. Descripción de la técnica e implementación</b>	<b>2</b>
2.1. Cálculo de gradientes . . . . .	2
2.2. Obtención de histogramas . . . . .	3
2.3. Normalización de histogramas . . . . .	4
<b>3. Detección de peatones</b>	<b>5</b>
3.1. Obtención de datos . . . . .	5
3.2. Selección del método de normalización de gradientes . . . . .	7
3.3. Ajustes adicionales del modelo . . . . .	7
3.4. Búsqueda de peatones en imágenes . . . . .	8
3.4.1. Supresión de no máximos . . . . .	10

## Índice de figuras

1. Positivos encontrados en 4 imágenes de muestra. . . . .	9
2. Comparación de positivos en las 4 imágenes de muestra con y sin supresión de no máximos. . . . .	12

## 1. Introducción

El objetivo de este proyecto es explorar la técnica de **Histograma de Gradientes (HoG)** aplicada a la detección de peatones, descrita en *Histograms of Oriented Gradients for Human Detection* (2005) de *Dalal y Triggs*.

Para ello, hemos implementado distintos aspectos del método realizando una serie de decisiones de diseño y hemos utilizado la base de datos original para comparar resultados. Las herramientas empleadas son *Python* y las librerías *OpenCV*, *NumPy* y *scikit-learn*.

## 2. Descripción de la técnica e implementación

El **Histograma de Gradientes** nos permitirá extraer características relevantes de una imagen para poder proceder a su clasificación (contiene un peatón o no). Consta de varias etapas que analizaremos a continuación.

### 2.1. Cálculo de gradientes

El primer paso del proceso es calcular los gradientes horizontales y verticales de cada imagen. Para ello, utilizaremos un *kernel* unidimensional  $[-1, 0, 1]$  centrado en cada píxel a evaluar.

Utilizando los valores anteriores obtendremos las orientaciones de los cambios de intensidad y sus magnitudes. Posteriormente, ya que las imágenes son a color, elegiremos el canal con mayor magnitud de gradiente para cada píxel.

El código correspondiente a esta parte es:

---

```
def computeGradient(img, kx, ky):

    img_x = cv2.sepFilter2D(img, cv2.CV_32F, kx, ky,
                             borderType=cv2.BORDER_REPLICATE)
    img_y = cv2.sepFilter2D(img, cv2.CV_32F, ky, kx,
                             borderType=cv2.BORDER_REPLICATE)

    mag, angle = cv2.cartToPolar(img_x, img_y, angleInDegrees=True)
    angle = angle%180
    del img_x
    del img_y

    magnitudes = np.apply_along_axis(np.max, 2, mag)

    coord_0 = np.repeat(np.arange(img.shape[0]),img.shape[1])
    coord_1 = np.tile(np.arange(img.shape[1]),img.shape[0])

    indices = np.apply_along_axis(np.argmax, 2, mag)
    angles = angle[coord_0, coord_1, indices.flatten()]
    angles = angles.reshape(img.shape[:2])

    return magnitudes, angles
```

---

Para obtener las orientaciones de los gradientes (limitándolas al rango  $[0, 180]$ ) y sus magnitudes hemos usado `cartToPolar`, que implementa las siguientes fórmulas:

$$\theta = \arctan \frac{g_y}{g_x}$$
$$g = \sqrt{g_x^2 + g_y^2}$$

Respecto a la selección del canal de color con mayor respuesta para cada píxel, la aproximación más directa sería utilizando dos bucles anidados para recorrer la imagen píxel por píxel, pero es posible ganar ligeramente en eficiencia aprovechando la capacidad de vectorización de NumPy: generamos todas las combinaciones de posiciones de la imagen, siendo cada una representada por `(coord_0[i], coord_1[i])`; obtenemos los índices del canal con mayor respuesta en cada píxel; finalmente, cada posición estará representada junto a su canal elegido por `(coord_0[i], coord_1[i], indices[i])`. De esta forma, podemos aprovechar la indexación por conjuntos de índices para resumir el proceso de selección en una única línea.

## 2.2. Obtención de histogramas

El uso de histogramas locales se basa en que la forma distintiva de un objeto se puede caracterizar muchas veces con suficiente calidad utilizando distribuciones y orientaciones de gradientes por áreas de una imagen. Además, al resumir implícitamente la información, la dimensionalidad del vector de características se reduce.

Para calcular estos histogramas, vamos a dividir la imagen en celdas cuadradas de un cierto número de píxeles (en nuestro caso,  $8 \times 8$ ). En cuanto a los histogramas, estarán formados por 9 secciones que corresponden a intervalos de 20 grados entre 0 y 180, puesto que tomaremos las orientaciones por dirección y no por sentido. Para conocer la aportación del ángulo en un píxel, haremos una interpolación lineal que reparta su influencia entre las dos secciones más cercanas; por ejemplo, si tenemos un ángulo de 35 grados, aportará el 25% de su valor de magnitud a la sección centrada en 20 y el 75% restante a la centrada en 40.

---

```
def cellHistogram(cell_m, cell_o, bins = 9, max_angle = 180):
    bin_size = max_angle//bins
    histogram = np.zeros(bins)

    lower_bin = (cell_o//bin_size).astype(np.uint8)
    upper_bin = (lower_bin+1)%bins

    value_to_upper = (cell_o%bin_size) / bin_size
    value_to_lower = (1-value_to_upper) * cell_m
    value_to_upper *= cell_m

    for i in range(8):
        for j in range(8):
            histogram[lower_bin[i,j]] += value_to_lower[i,j]
            histogram[upper_bin[i,j]] += value_to_upper[i,j]

    return histogram
```

---

Como se puede apreciar, hacemos uso de vectorización para calcular en pocas líneas las aportaciones de todos los píxeles de la celda a las secciones del histograma.

Cabe mencionar que tanto el tamaño de las celdas como la disposición de los histogramas en 9 categorías cubriendo el rango  $[0, 180]$  se han elegido así porque producen resultados de mayor calidad según el artículo. Asimismo, en el caso de las celdas un tamaño de  $8 \times 8$  permite que haya un número exacto de éstas en las ventanas de  $64 \times 128$  píxeles que luego usaremos para detectar peatones.

Finalmente, veamos cómo se usa la función a la hora de calcular todos los histogramas de una imagen:

---

```
def computeCellHistograms(border_size, magnitudes, angles, cell_size = 8,
                           bins = 9, max_angle = 180):

    end_r = magnitudes.shape[0] - border_size
    end_c = magnitudes.shape[1] - border_size

    rows = magnitudes.shape[0] - (border_size*2)
    cols = magnitudes.shape[1] - (border_size*2)

    histograms = np.zeros((rows//cell_size, cols//cell_size, bins), np.float)

    for i in range(border_size, end_r, cell_size):
        for j in range(border_size, end_c, cell_size):
            histograms[(i-border_size)//cell_size, (j-border_size)//cell_size] = \
                cellHistogram(magnitudes[i:i+cell_size, j:j+cell_size],
                              angles[i:i+cell_size, j:j+cell_size], bins, max_angle)

    return histograms
```

---

Lo primero que hacemos es eliminar el borde que pueda tener la imagen hasta que sus dimensiones sean múltiplos del tamaño de celda. Esto se hace principalmente porque los ejemplos positivos de peatones en los conjuntos de entrenamiento y test tienen un tamaño ligeramente mayor al de  $64 \times 128$  que vamos a necesitar.

Posteriormente, recorremos la imagen en saltos de 8 píxeles de izquierda a derecha y de arriba abajo para ir obteniendo los histogramas de toda la malla de celdas.

### 2.3. Normalización de histogramas

La alta variabilidad de contextos y grados de iluminación que existe en la realidad provoca que los gradientes que calculamos se muevan en rangos muy amplios. Puesto que esto puede añadir una complejidad significativa a la ya difícil tarea de distinguir entre una clase y todo lo demás, es necesario el uso de normalización para tener una escala unificada de magnitudes entre 0 y 1.

En nuestro caso, esta normalización se realiza agrupando las celdas en bloques cuadrados (por defecto, de  $2 \times 2$  celdas) y aplicando el proceso con una cierta superposición entre dichos bloques (por defecto, 50%). La superposición, aunque pueda introducir redundancia, aporta calidad al proceso y mejora los resultados, guiándonos por las conclusiones de los autores de la técnica.

Según el cálculo realizado para normalizar, podemos distinguir entre las tres variantes probadas:

- División entre la norma L1:

---

```
def norm_1(x):  
    norm = np.linalg.norm(x,0)  
    return x/norm if norm != 0 else x
```

---

- División entre la norma L2:

---

```
def norm_2(x):  
    norm = np.linalg.norm(x)  
    return x/norm if norm != 0 else x
```

---

- División preliminar entre la norma L2, recorte de valores superiores a 0.2 y división entre su nueva norma L2 (llamada norma L2-Hys en el artículo):

---

```
def norm_2_hys(x):  
    x = norm_2(x)  
    x[x > 0.2] = 0.2  
    return norm_2(x)
```

---

La forma de aplicar lo anterior se traduce en la siguiente función:

---

```
def normalizeHistograms(histograms, norm_f = norm_2, block_size = 2,  
                        overlapping = 0.5):  
    step = int(block_size*(1-overlapping))  
    normalized = []  
    for i in range(0,histograms.shape[0]-block_size+1, step):  
        for j in range(0,histograms.shape[1]-block_size+1, step):  
            normalized.extend((norm_f(histograms[i:i+block_size, j:j+block_size].flatten()))  
    return np.asarray(normalized)
```

---

La función recibe como parámetro el conjunto de histogramas, así como la normalización que aplicará, el tamaño de los bloques y el solapamiento entre los mismos. Tras calcular el intervalo entre cada par de bloques, los recorremos y añadimos cada conjunto resultante de histogramas normalizados al vector de características de la imagen.

### 3. Detección de peatones

#### 3.1. Obtención de datos

Para la detección se ha utilizado un tamaño de ventana de  $64 \times 128$  píxeles, cuya forma permite abarcar personas aproximadamente erguidas. Asimismo, dentro de las ventanas con ejemplos positivos de entrenamiento y test, parte de este tamaño es un borde alrededor del

peatón que añade contexto útil; los autores comprobaron que reducir este borde causaba una pérdida notable de precisión.

Con los ejemplos positivos ya proporcionados, nuestra próxima tarea será conseguir ejemplos negativos del mismo tamaño a partir de las fotografías del conjunto de datos que no contienen personas. Siguiendo el procedimiento original, vamos a extraer 10 ventanas aleatorias de cada una de esas imágenes. Para no tener que generar miles cada vez que queramos entrenar un clasificador, las guardamos una única vez:

---

```
def extractNegativeWindows(path, dst_path):
    for name in os.listdir(path):
        img = cv2.imread(os.path.join(path, name))
        for i in range(10):
            f = random.randint(0, img.shape[0]-128)
            c = random.randint(0, img.shape[1]-64)
            cv2.imwrite(dst_path+"/"+str(i)+"_"+name, img[f:f+128, c:c+64])
```

---

Una vez tenemos todas las imágenes necesarias, es el momento de aplicar el proceso descrito en el apartado anterior a cada una de ellas para obtener las características con las que trabajarán los clasificadores de peatones. En código esto se traduce en recorrer los directorios de ejemplos positivos y negativos y utilizar las distintas funciones que calculan un **Histograma de Gradientes**:

---

```
def obtainDataFeatures(deriv_kernel, pos_path, neg_path, norm_f = norm_2):
    kx = deriv_kernel[0]
    ky = deriv_kernel[1]

    pos_directory = os.listdir(pos_path)
    neg_directory = os.listdir(neg_path)

    descriptor_length = (15*7)*(4*9)
    features = np.zeros((len(pos_directory) + len(neg_directory), descriptor_length))
    labels = np.repeat(np.asarray([1,0]), [len(pos_directory), len(neg_directory)])
    i = 0

    for name in pos_directory:
        img = cv2.imread(os.path.join(pos_path, name))

        magnitudes, angles = computeGradient(img, kx, ky)

        border_size = (img.shape[0]-128) // 2
        histograms = computeCellHistograms(border_size, magnitudes, angles, 8)
        descriptor = normalizeHistograms(histograms, norm_f=norm_f)
        features[i,:] = descriptor
        h.printProgressBar(i, features.shape[0])
        i+=1

    for name in neg_directory:
```

---

```
img = cv2.imread(os.path.join(neg_path, name))

magnitudes, angles = computeGradient(img, kx, ky)

border_size = (img.shape[0]-128) // 2
histograms = computeCellHistograms(border_size, magnitudes, angles, 8)
descriptor = normalizeHistograms(histograms, norm_f=norm_f)
features[i,:] = descriptor
i+=1
h.printProgressBar(i, features.shape[0])

return features, labels
```

Por eficiencia, creamos la matriz que contendrá los vectores de características de todos los ejemplos de entrenamiento en lugar de extenderla a cada paso. Esto requiere conocer el tamaño de dichos vectores de antemano, algo que nos podemos permitir si analizamos cómo hacemos el cálculo del **Histograma de Gradientes**: utilizamos ventanas de  $64 \times 128$  píxeles, celdas de  $8 \times 8$  píxeles y una superposición del 50% en bloques de  $2 \times 2$  celdas; si en una ventana caben 16 filas de 8 celdas, esto significa que hay 15 filas de 7 bloques cada una; además, cada bloque contiene 4 celdas, que producen histogramas de 9 casillas. Esto produce un total de  $15 \cdot 7 \cdot 4 \cdot 9$  características.

Tal como se mencionó anteriormente, las imágenes positivas ya incluidas en el conjunto de datos tienen un borde que incrementa un poco el tamaño, por lo que antes de procesar cada una hay que conocer cuánto vale ese borde para que `computeCellHistograms` trabaje sobre  $64 \times 128$ .

Llamaremos a esta función dos veces: una para crear los datos de entrenamiento y otra para crear los datos de test.

### 3.2. Selección del método de normalización de gradientes

Como hemos dicho, podemos optar entre tres normalizaciones distintas, por lo que el primer paso es elegir una de ellas para enfocar futuras mejoras. Con este objetivo en mente, vamos a comparar la calidad de las predicciones de test usando un SVM preliminar con  $C = 1$  (valor por defecto):

Normalización	Precisión
Norma L1	96.556 %
Norma L2	98.446 %
Norma L2-Hys	98.093 %

A la vista de los resultados, elegimos la norma L2 como método de normalización a partir de ahora. En cuanto a los porcentajes de acierto, son aceptables, pero si tenemos en cuenta que en cada imagen real habremos de analizar un gran número de ventanas para encontrar personas, nos interesa tratar de mejorar estas cifras.

### 3.3. Ajustes adicionales del modelo

En esta sección vamos a buscar brevemente alguna forma de incrementar la precisión del modelo, para lo que contemplaremos dos factores: el parámetro  $C$  (que controla la pena-



lización de los errores de clasificación) y el hecho de que las clases no están equilibradas (la clase no-peatón tiene muchos más ejemplos porque su variabilidad es mayor). Para el parámetro  $C$  vamos a probar el valor de 0.01 que usan los autores, y para el equilibrio de clases vamos a ponderar su peso de forma inversa a su frecuencia.

Variante	Precisión
Sin modificaciones	98.446 %
Con $C = 0.01$	98.658 %
Con ponderación de clases	98.410 %
Con ambas modificaciones	98.340 %

Parece que cambiando el valor del parámetro  $C$  hemos conseguido cierta mejora. El cambio desde 1 hasta 0.01 significa que penalizamos menos los errores de clasificación a cambio de encontrar un margen mayor entre las dos clases y el hiperplano que trata de separarlas, por lo que quizás hemos obtenido esta calidad a cambio de sacrificar algunos aciertos puntuales.

### 3.4. Búsqueda de peatones en imágenes

Una vez hemos intentado aumentar la capacidad de predicción base del modelo, vamos a probarlo en un entorno más realista: encontrar peatones en una imagen arbitraria. El proceso consistirá en recorrer la imagen en varias escalas con una ventana deslizante a intervalos regulares; de esta forma, aumenta el tiempo de cómputo pero también la probabilidad de encontrar a una persona que esté presente.

Una primera aproximación es la siguiente:

```
def scanForPedestriansSimple(img,classifier,deriv_kernel,norm_f,stride = 8):
```

```
    dims = (int(img.shape[1]//1.2),int(img.shape[0]//1.2))
    pyramid = [img]
    canvas = np.copy(img)
```

```
    while dims[0] > 128 and dims[1] > 64:
        blurred = cv2.GaussianBlur(pyramid[-1],ksize=(5,5), sigmaX = 0.6)
        pyramid.append(cv2.resize(src=blurred,dsize=dims))
        dims = (int(dims[0]//1.2),int(dims[1]//1.2))
```

```
    scale = 1
```

```
    for level in pyramid:
```

```
        margin_r = int((level.shape[0] % 8) // 2)
        margin_er = int((level.shape[0] % 8) - margin_r)
        margin_c = int((level.shape[1] % 8) // 2)
        margin_ec = int((level.shape[1] % 8) - margin_c)
```

```
        magnitudes, angles = computeGradient(level[margin_r:level.shape[0]-margin_er,margi
        histograms = computeCellHistograms(0,magnitudes,angles)
```

```
        for i in range(0,histograms.shape[0]-15):
```

```
for j in range(0, histograms.shape[1]-7):  
    window_norm_histograms = normalizeHistograms(histograms[i:i+16, j:j+8], norm_f  
  
    if classifier.predict([window_norm_histograms])[0]:  
        windows.append(np.array([j*8*scale, i*8*scale, (j+8+64)*scale, (i+8+128)*sc  
  
scale *= 1.2  
  
return windows
```

En primer lugar, hay que crear las diferentes escalas para las que vamos a pasear la ventana deslizante; el artículo original sugiere dividir entre 1.2 en tantos pasos sucesivos como se pueda antes de tener una imagen de menores dimensiones que la ventana.

A continuación, nos centraremos en cada nivel de la pirámide haciendo lo siguiente: tras ajustar el tamaño para que no sobren píxeles al pasear la ventana, calculamos los histogramas de toda la imagen; para cada posición posible, normalizamos los histogramas de sus celdas (obteniendo así sus características) y preguntamos al clasificador; si responde positivamente, será guardada en su localización y proporción respecto a la imagen original.

Algunos resultados de la ejecución se ven en la siguiente figura:

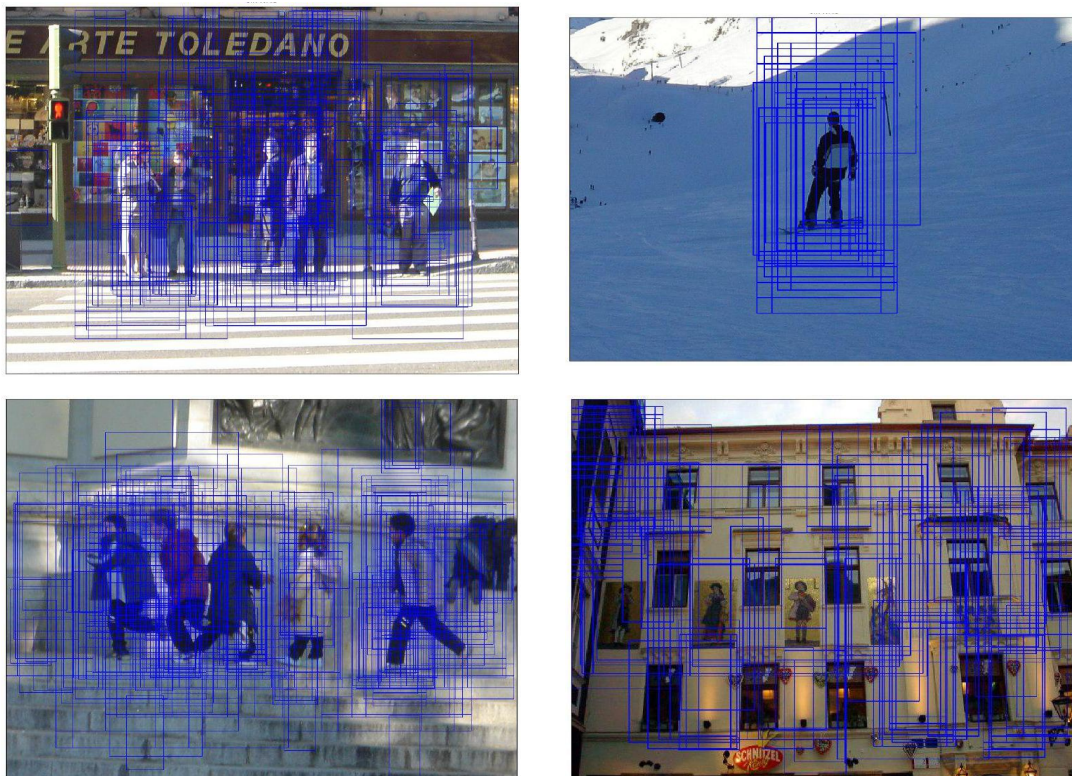


Figura 1: Positivos encontrados en 4 imágenes de muestra.

Se observa de forma clara que la tasa de error que obteníamos se convierte en un problema cuando evaluamos miles de ventanas por imagen. Por ello, es preciso tratar de dar soluciones.

### 3.4.1. Supresión de no máximos

Aunque no arreglará el problema de la calidad del modelo, una alternativa para descartar muchos de los falsos positivos es la supresión de no máximos (*NMS*). La idea aquí es aprovechar el grado de confianza del clasificador en que una ventana contenga un peatón y descartar todas aquéllas que se solapen en cierta medida con una de mayor confianza. Veamos cómo hacer esto:

---

```
def non_maximum_suppression(windows, overlap_threshold):
    if not len(windows):
        return np.array([])

    x1 = windows[:,0]
    y1 = windows[:,1]
    x2 = windows[:,2]
    y2 = windows[:,3]
    c = windows[:,4]
    I = np.argsort(c)[:, -1]

    area = (x2-x1+1) * (y2-y1+1)
    chosen = []

    while len(I):
        i = I[0]
        xx1 = np.maximum(x1[i], x1[I])
        yy1 = np.maximum(y1[i], y1[I])
        xx2 = np.minimum(x2[i], x2[I])
        yy2 = np.minimum(y2[i], y2[I])

        width = np.maximum(0.0, xx2-xx1+1)
        height = np.maximum(0.0, yy2-yy1+1)

        overlap = (width*height).astype(np.float32)/area[I]
        mask = overlap < overlap_threshold

        I = I[mask]
        if mask.shape[0]-np.sum(mask) > 1 :
            chosen.append(i)
    return windows[chosen]
```

---

Ya que para cada ventana positiva habíamos guardado las coordenadas de sus esquinas superior izquierda e inferior derecha junto con su confianza, lo primero que hacemos es separar los datos para mayor claridad. Seguidamente, las ordenamos de mayor a menor confianza (nótese que *I* es un vector de índices) y calculamos sus áreas.

Ahora comienza el proceso de descarte. En cada iteración seleccionamos la ventana con mayor confianza de entre las que quedan sin procesar y calculamos la proporción de su solapamiento con las demás (dividiendo entre sus áreas). Se guarda la ventana en cuestión y se eliminan todas aquellas que se superpongan más de un cierto umbral (fijado aquí a 0.3 mediante experimentación).

Como consecuencia de añadir la supresión de no máximos, el procedimiento de búsqueda se ve ligeramente alterado:

---

```
def scanForPedestriansNMS(img,classifier,deriv_kernel,norm_f,stride = 8):

    dims = (int(img.shape[1]//1.2),int(img.shape[0]//1.2))
    pyramid = [img]
    windows = []

    while dims[0] > 128 and dims[1] > 64:
        blurred = cv2.GaussianBlur(pyramid[-1],ksize=(5,5), sigmaX = 0.6)
        pyramid.append(cv2.resize(src=blurred,dsize=dims))
        dims = (int(dims[0]//1.2),int(dims[1]//1.2))

    scale = 1

    for level in pyramid:
        margin_r = int((level.shape[0] % 8) // 2)
        margin_er = int((level.shape[0] % 8) - margin_r)
        margin_c = int((level.shape[1] % 8) // 2)
        margin_ec = int((level.shape[1] % 8) - margin_c)

        magnitudes, angles = computeGradient(level[margin_r:level.shape[0]-margin_er,margin_c:level.shape[1]-margin_ec])
        histograms = computeCellHistograms(0,magnitudes,angles)

        for i in range(0,histograms.shape[0]-15):
            for j in range(0,histograms.shape[1]-7):
                window_norm_histograms = normalizeHistograms(histograms[i:i+16,j:j+8],norm_f)
                confidence = classifier.decision_function([window_norm_histograms])[0]
                if confidence > 0:
                    windows.append(np.array([j*8*scale,i*8*scale,(j*8+64)*scale, (i*8+128)*scale]))

        scale *= 1.2

    new_windows = non_maximum_suppression(np.asarray(windows), 0.3)
    return new_windows
```

---

En la pregunta al clasificador hemos usado `decision_function`, que devuelve la distancia al hiperplano separador, porque necesitamos medidas de confianza en las predicciones para utilizarlas en `non_maximum_suppression`. Si `decision_function` da un valor mayor que 0, la muestra está en la clase positiva; si da menor que 0, está en la clase negativa.

Como prueba del efecto que tiene la supresión de no máximos, comparemos los resultados anteriores con los obtenidos usando este filtro:



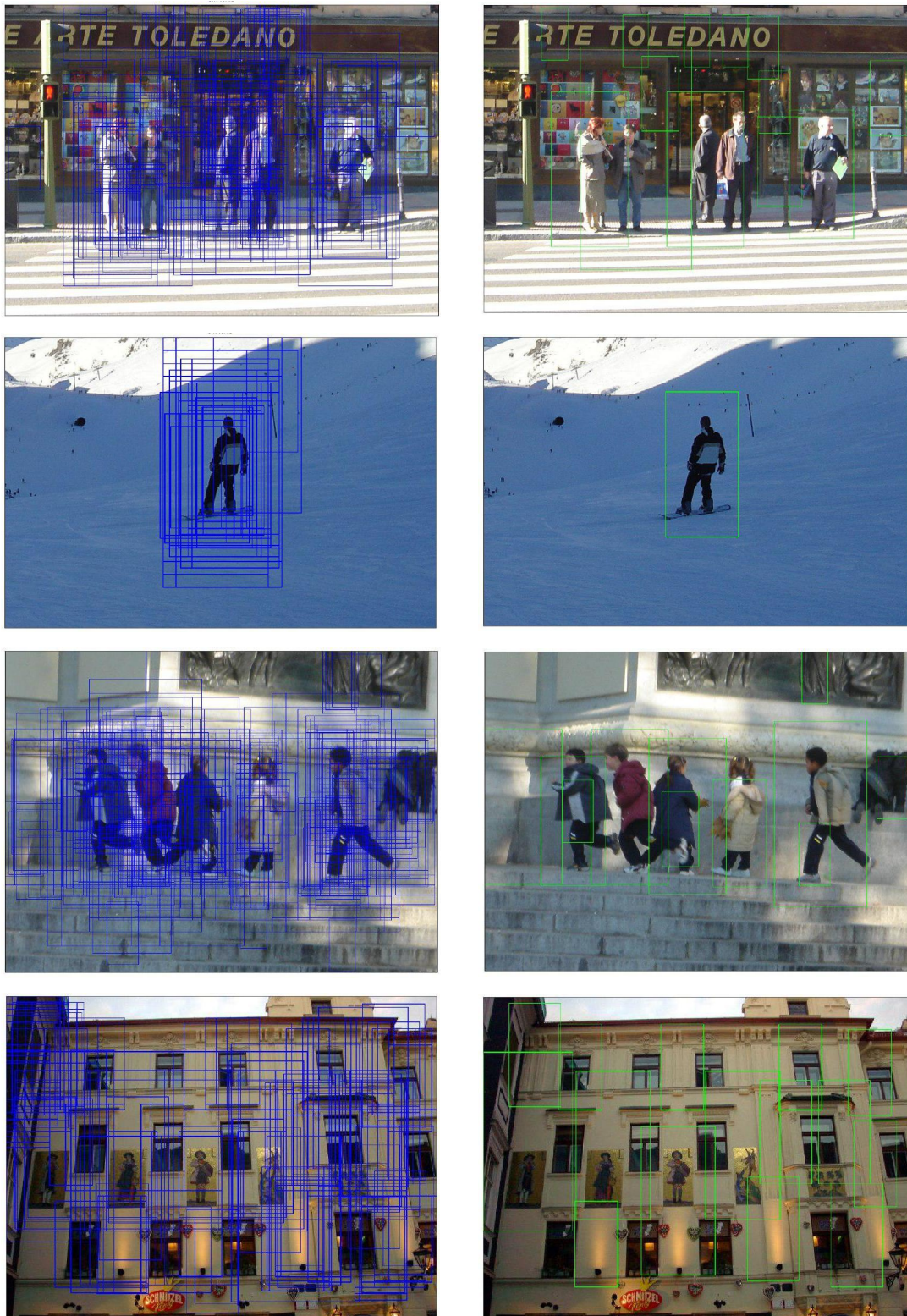


Figura 2: Comparación de positivos en las 4 imágenes de muestra con y sin supresión de no máximos.

De lo anterior podemos concluir que la supresión de no máximos es de gran ayuda, pero

que la utilidad del proceso que realiza depende del modelo. En nuestro caso, aún queda un número notable de imprecisiones.

Para concluir el análisis de esta mejora, veamos la penalización en tiempo de ejecución, tanto considerando el proceso tal cual como añadiendo el posterior dibujado:

<b>Imagen</b>	<b>Tiempo original (s)</b>	<b>Tiempo NMS (s)</b>	<b>Tiempo original + dibujado (s)</b>	<b>Tiempo NMS + dibujado (s)</b>
Imagen 1	65.83891	66.18080	70.66711	70.39946
Imagen 2	12.39770	12.29394	14.35838	13.94862
Imagen 3	68.98459	70.52982	74.14415	73.80650
Imagen 4	20.54199	20.53334	23.24827	22.88052

En la tabla se aprecia que la pérdida de velocidad es mínima, y que incluso obtenemos beneficio si abarcamos también la fase de dibujado de las ventanas ya que quedan muchas menos.